

## 재조합 균주 *Escherichia coli* (pLL200K)가 생산하는 *Bacillus circulans* endo- $\beta$ -1,3-1,4-glucanase의 정제 및 특성

김지연

인제대학교 유전공학연구소

*Bacillus circulans*의 endo- $\beta$ -1,3-1,4-glucanase 유전자를 발현 vector pQE30에 삽입시키고 *E. coli* M15에서 발현시켜 효소를 생산·정제하였다. 생산된 endo- $\beta$ -1,3-1,4-glucanase는 nickel-nitrilotriacetic acid (Ni-NTA) metal-affinity chromatography 과정을 거쳐 단일 단백질로 정제되었다. 정제된 효소의 분자량은 SDS-PAGE 전기영동법으로는 28 kDa이었다. 효소 최적 활성 pH와 온도는 각각 pH 6.8과 60°C였다. 이 효소는 pH 5.5~7.5와 55°C 이하의 온도에서 안정하였다. 또한 본 효소는 여러 가지 금속 이온에 의해 대부분의 활성이 억제되었고, 특히 Hg<sup>2+</sup>에서는 강하게 효소 활성이 저해됨을 보였다. 유기 용매에 대한 활성은 10%의 methanol이나 ethanol, isopropanol, 1-butanol에 대하여 모두 낮은 활성을 나타내었다.

Key words □ *Bacillus circulans*, endo- $\beta$ -1,3-1,4-glucanase, Ni-NTA metal-affinity chromatography, purification

자연계에 다양으로 존재하고 있는 섬유소 물질은 주로 cellulose와 hemicellulose, lignin 세 가지 성분으로 구성되어 있다. 이 중에서 hemicellulose는 식물 세포벽의 주요 구성 성분으로 주요 종류로는  $\beta$ -glucan과 mannan, xylan, laminarin 등이 있다.

$\beta$ -Glucan은 glucose를 기본 단위로 구성된  $\beta$ -1,3-1,4-glucan 형태의 homopolymer로서 자연계에서 흔히 볼 수 있는 보리나 귀리 등의 내배유(endosperm) 세포벽에 존재하며 일부 비내배유(non-endosperm) 조직에도 존재한다고 알려져 있다(8). 그 구조의 약 70%는  $\beta$ -1,4 결합으로 이루어져 있고, 나머지 30%는  $\beta$ -1,3 결합으로 이루어져 있으며 식물의 종류에 따라 결합 비율은 다양하다. 이러한 혼합 결합(mixed linkage) 형태는 lichenan에서도 볼 수 있다(4).  $\beta$ -Glucan의  $\beta$ -1,3에 인접한  $\beta$ -1,4 결합만을 특이적으로 가수분해시키는 endo- $\beta$ -1,3-1,4-glucanase는 주요 반응 산물로 3-O- $\beta$ -cellobiosyl-D-glucose (G3)를 생성하는 반면에, laminarin의  $\beta$ -1,3 결합이나 carboxymethyl cellulose (CMC)의  $\beta$ -1,4 결합은 기질로서 인식하지 못한다(1,9).

Endo- $\beta$ -1,3-1,4-glucanase는 양조 산업과 맥아 제조에 효과적으로 이용되는데, 이 효소는  $\beta$ -glucan으로부터 분해 산물을 최대한 얻을 수 있게 하고 맥아즙을 좀 더 빠르게 분리시킨다. 그리고 맥주에 형성되는 침전물을 감소시켜 줄뿐만 아니라 발효가 끝난 맥주의 여과 수율을 증진시켜 주는 등 생산 과정에서 발생하는 문제점들을 보완해 준다(2,3,7). 이 밖에도 가축들의 먹이로 사용되는 여러  $\beta$ -glucan들을 처리하여 소화력을 증진시키는데 도움이 되기도 한다(6).  $\beta$ -Glucan의 산업적 이용을 위해서는  $\beta$ -glucan의

가수분해, 특히 화학적 분해법에 비해 많은 장점을 가지고 있는 미생물을 이용한 효소적 분해법의 개발이 가장 중요한 선결과제라고 하겠다.

*Bacillus*는 분자유전학 측면에서 볼 때 그람 양성 세균에서 가장 잘 규명된 속 중 하나이다. *Bacillus* 속의 몇 가지 종들은 상이한 활성을 가진 세포 외 분해 효소를 다양하게 분비하여 여러 가지 기질들을 분해함으로써 유전자 및 효소 수준, 그리고 산업적으로 폭넓게 연구되고 있다(14). 대표적으로 여러 종류의 glucanase, amylase, protease, glucose isomerase와 같은 효소들이 잘 알려져 있다(15). 특히 endo- $\beta$ -1,3-1,4-glucanase는 생성 균주가 재한되어 있을 뿐만 아니라 이 효소 이외에 여러 종류의 다양한 분해 효소가 복합적으로 분비되어 면밀한 생화학적 특성 연구나 산업적인 활용에 어려움이 따랐다. 이를 해결하기 위해서는 효소의 대량생산 및 효율적 분비가 필요한데 유전공학적인 방법을 이용함이 바람직하다.

본 연구자는 *B. circulans* endo- $\beta$ -1,3-1,4-glucanase 유전자를 pUC19을 vector로 하여 대장균 내에서 클로닝 및 발현시켜 재조합 플라스미드 pLL200K를 얻어 기본적인 분자생물학적 연구를 수행한 바 있다(11). 본 연구에서는 endo- $\beta$ -1,3-1,4-glucanase를 분리·정제하고 효소의 생화학적인 특성을 조사하여 앞으로 산업적으로 활용하는데 있어서 기초 토대를 마련하고자 한다.

### 재료 및 방법

#### 사용균주 및 발현 vector

본 연구에 사용된 endo- $\beta$ -1,3-1,4-glucanase 유전자의 공여 균주는 *Bacillus circulans* ATCC21367이었으며, 효소 정제 시 사용된 발현 vector로는 QIAGEN의 pQE30이, 발현 숙주로는 *E. coli* M15 (pREP4)가 사용되었다.

\*To whom correspondence should be addressed.  
Tel: 055-320-3737, Fax: 055-321-2355  
E-mail: biokjy@inje.ac.kr

## 배지 및 생장조건

*E. coli*는 LB (0.5% yeast extract와 1% tryptone, 1% NaCl) 배지를 사용, 37°C에서 전통 배양하였다. 한천 평판배지의 경우에는 LB 배지에 한천을 1.5% (w/v)되게 첨가하였다. 효소 활성을 나타내는 형질전환체의 선별을 위해서는 기질인 lichenan (0.3%)과 항생제(ampicillin 100 µg/ml과 kanamycin 25 µg/ml)를 첨가하여 사용하였다.

## Primer 합성

Endo- $\beta$ -1,3-1,4-glucanase 유전자의 open reading frame (ORF) 만을 증폭시키기 위해 재조합 플라스미드 pLL200K를 제한효소 *Pst*I으로 처리한 후 2.0 kb의 삽입 절편을 얻었다. Endo- $\beta$ -1,3-1,4-glucanase 유전자의 ORF (771 bp)를 증폭하기 위해 ORF 시작 부위의 5' 쪽 염기 서열과 종결 부위에서 3' 쪽으로 연장한 염기 서열 말단에 일치하는 두 가지의 primer를 제조하였다. Forward primer의 5'에는 제한효소 *Bam*HI, reverse primer의 5'에는 *Sall*의 인식 부위를 첨가하였다.

## PCR 반응

PCR을 수행하기 위하여 1× 반응 완충용액(10 mM Tris-HCl pH 9.0, 50 mM KCl, 0.1% Triton X-100)과 0.02 mM MgCl<sub>2</sub>, 20 µM dNTPs, 10 pmol primer, 적당량의 주형 DNA, 2.5 unit의 Taq DNA polymerase를 첨가하여 50 µl되게 반응 혼합물을 만들어 PCR 반응을 진행시켰다. 이 때 DNA thermal cycler (Gene-Amp<sup>®</sup> PCR system 2400-PERKIN ELMER, Norwalk, USA)를 사용하였다. 처음 94°C에서 3 분간 변성시킨 후 94°C에서 1 분, 55°C에서 1 분, 72°C에서 2 분씩 30 회 반복하여 DNA를 증폭시키고 마지막으로 72°C에서 10 분간 연장하여 PCR 반응을 종결시켰다. 증폭된 DNA는 1% agarose gel 상에 전기영동하여 확인하였다.

## 발현 vector로의 클로닝 및 형질전환

증폭된 ORF 유전자를 발현 vector인 pQE30에 subcloning하고 *E. coli* M15 (pREP4)에 형질전환하였다. 우선 PCR을 이용해 증폭된 DNA를 gel 상에서 회수하여 *Bam*HI과 *Sall*으로 처리한 다음, 다시 1% agarose gel에 전기영동하여 elution하였다. 이렇게 준비한 endo- $\beta$ -1,3-1,4-glucanase 유전자와 동일 제한효소로 처리된 vector pQE30을 서로 ligation시켜 발현 숙주인 *E. coli* M15 (pREP4)로 형질전환시켰다. 형질전환은 Hanahan의 방법(10)을 적절히 변형시켜 수행하였다. 형질전환체는 기질인 lichenan(0.3% 첨가된 LB (ampicillin 100 µg/ml과 kanamycin 25 µg/ml 포함) 한천 평판배지에서 congo red를 이용한 선별 방법을 통하여 확인하였다(17).

## Subcloning된 ORF의 발현

효소 생산을 위한 최적 배양 조건을 확립하여 다음과 같이 수행하였다. LB (ampicillin 100 µg/ml과 kanamycin 25 µg/ml 포함) 한천 배지에서 잘 자란 형질전환체의 단일 colony를 20 ml의 LB (ampicillin 100 µg/ml과 kanamycin 25 µg/ml 포함) 액체 배지에

접종하여 37°C에서 12~16 시간 동안 배양하였다. 배양액을 다시 1 l의 LB (ampicillin 100 µg/ml과 kanamycin 25 µg/ml 포함) 액체 배지에 접종, 37°C에서 OD<sub>600</sub> 0.5~0.7이 될 때까지 배양하였다. 그런 다음 배양액에 IPTG를 최종 농도 1 mM 되게 첨가한 후 2 시간 동안 연속 배양하고 SDS-PAGE를 통하여 과발현된 단백질을 확인하였다. 나머지 배양액은 4,000×g에서 20 분 동안 원심분리하여 세포 침전물을 얻었다.

## 조효소액 조제

침전 세포체는 Triton X-100을 0.1%되게 첨가한 lysis buffer (50 mM NaH<sub>2</sub>PO<sub>4</sub> pH 8.0, 300 mM NaCl, 10 mM imidazole)로 혼탁시켰다. 이 혼탁액을 200 W에서 10 초 간격으로 6 회 초음파 파쇄처리한 후 12,000×g에서 20 분간 원심분리하여 얻은 상등액을 효소 정제를 위한 조효소액으로 사용하였다.

## 효소 정제

단백질 정제는 QIAGEN의 Ni-NTA agarose gel을 이용하여 정제하였다. 준비해 둔 조효소액을 Ni-NTA gel에 통과시킨 후 각 10 ml씩의 lysis buffer (50 mM NaH<sub>2</sub>PO<sub>4</sub> pH 8.0, 300 mM NaCl, 10 mM imidazole), wash I buffer (50 mM NaH<sub>2</sub>PO<sub>4</sub> pH 8.0, 300 mM NaCl, 20 mM imidazole), wash II buffer (50 mM NaH<sub>2</sub>PO<sub>4</sub> pH 8.0, 300 mM NaCl, 50 mM imidazole) 순서로 세척하였다. 여기에 4 ml의 elution buffer I (50 mM NaH<sub>2</sub>PO<sub>4</sub> pH 8.0, 300 mM NaCl, 100 mM imidazole)을 gel에 통과시켜 1 ml씩 회수하였고, 다시 4 ml의 elution buffer II (50 mM NaH<sub>2</sub>PO<sub>4</sub> pH 8.0, 300 mM NaCl, 250 mM imidazole)를 이용하여 1 ml씩 회수하였다. 마지막으로 100 mM EDTA가 첨가된 elution buffer III (50 mM NaH<sub>2</sub>PO<sub>4</sub> pH 8.0, 300 mM NaCl, 250 mM imidazole, 100 mM EDTA) 4 ml을 통과시켜 1 ml씩 회수하였다. 회수한 효소액 중 10-20 µl를 취해 4× PAGE sample buffer와 섞어 SDS-PAGE를 수행하였다. 이를 통하여 효소의 정제 정도와 농도를 판별하여 효소 활성 측정에 이용하도록 하였다.

## 효소 활성 측정

Endo- $\beta$ -1,3-1,4-glucanase의 효소 활성 측정을 위해서는 barley  $\beta$ -glucan (1%, w/v) 또는 lichenan (1%, w/v)이 첨가된 각각의 0.1 M 인산 완충용액(pH 6.8)을 고압 증기 멀균하여 효소 반응의 기질로 사용하였다. 기질 0.5 ml과 효소액 0.5 ml을 혼합하여 60°C에서 10 분 동안 반응시켰다. 기질 가수분해로 생성된 환원당은 3,5-dinitrosalicylic acid (DNS)에 의한 방법에 따라 550 nm에서 흡광도를 측정, 비색정량하였으며 60 ml에서 1 분간 1 µmol의 환원당을 생성하는 효소량을 1 unit로 표시하였다(13).

## 단백질 정량

단백질 정량은 280 nm에서의 OD 값을 측정하는 자외선 흡광도법과 bovine serum albumin을 표준 단백질로 사용하는 Lowry 법(12)을 이용하여 수행하였다.

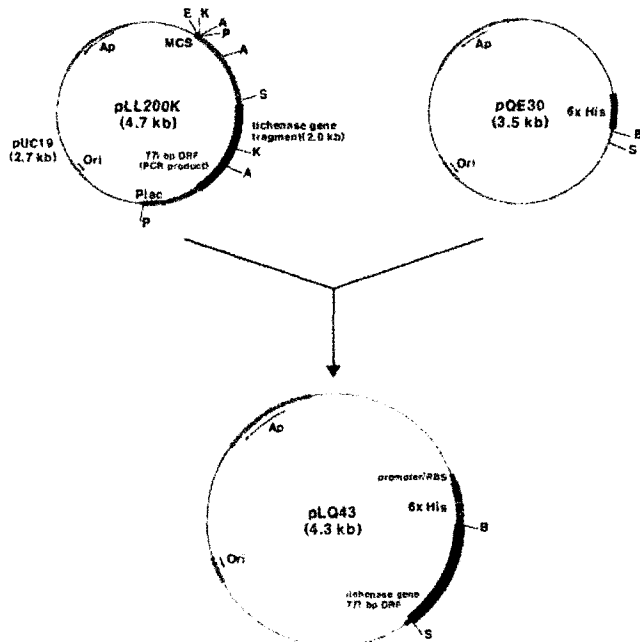
### 효소의 일반적인 특성

효소 활성 최적 온도는 30°C부터 5~10°C 간격으로 온도를 달리하여 각 온도에서 10 분 동안 반응시킨 효소 활성을 측정하여 결정하였다. 온도에 대한 효소의 열 안정성은 정제된 효소액을 각 온도에서 1 시간 동안 보존한 다음 최적 온도에서 10분간 반응시켜 잔여 효소 활성을 측정하는 방법과, 일정 온도에서 10~60 분까지 10 분 간격으로 효소액을 미리 반응시킨 후 최적 온도에서 10 분 동안 반응시켜 잔여 효소 활성을 측정하는 방법을 이용하여 결정하였다. 효소 활성 최적 pH는 시트르산 완충용액(pH 3.0~6.0)과 인산 완충용액(pH 6.0~8.0), Tris 완충용액(pH 8.0~9.0), 탄산 완충용액(pH 9.0~11.0)을 사용, 각각의 pH에서 최적 온도로 효소 활성을 측정하여 결정하였다. 또한 각 pH별로 효소액을 40°C에서 24 시간 동안 방치한 다음 잔존 효소 활성을 측정하는 방법으로 pH에 대한 효소의 안정성을 측정하였다. 각종 금속 이온이 효소 활성에 미치는 영향을 알아보기 위하여 금속 이온을 1 mM 농도로 효소액에 첨가하여 37°C에서 1시간 동안 방치한 후 잔여 효소 활성을 측정하였다. 또한 효소액에 유기 용매의 농도를 10% (v/v)로 첨가하여 효소 활성을 측정, 효소 활성에 대한 유기 용매의 효과를 측정하였다. 그리고 효소 활성 최적 pH 완충용액에 여러 가지 기질(lichenan이나 barley  $\beta$ -glucan, birchwood xylan, oat spelt xylan, CMC, soluble starch, chitin, pullulan, mannan 등)을 1%로 첨가한 다음 효소액을 통하여 효소 활성을 측정하여 기질 특이성을 살펴보았다.

### 결과 및 고찰

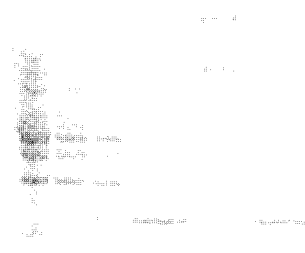
#### 효소 정제 및 분자량 측정

발현 vector인 pQE30을 이용하여 *E. coli* M15로 subcloning된 *B. circulans*의 endo- $\beta$ -1,3-1,4-glucanase 유전자(Fig. 1)가 생산하는 효소를 정제하였다. 100  $\mu$ g/ml ampicillin과 25  $\mu$ g/ml kanamycin을 첨가한 LB 배지에서 과발현된 균체를 초음파 처리하여 조효소액을 조제하고 이를 nickel-nitrilotriacetic acid (Ni-NTA) metal-affinity chromatography 방법으로 정제하였다. Table 1에 요약한 바와 같이 정제 효소의 수율은 2.6%였으며 specific activity는 23.6 units/mg으로서 specific activity가 0.95 units/mg인 염된 정제 전의 조효소 용액에 비해 약 24.8 배 정제된 단일 단백질 형태의 endo- $\beta$ -1,3-1,4-glucanase가 분리되었다. SDS-PAGE 전기영동법으로 측정한 정제 효소의 분자량은 Fig. 2에 표시되어 있는 바와 같이 약 28 kDa로 확인되었는데, 이 결과는 Kim 등(11)이 보고한 선행연구에서의 분자량과 일치하였다.



**Fig. 1.** Construction of the endo- $\beta$ -1,3-1,4-glucanase expression vector, pLQ43. The 771 bp ORF was amplified from the pLL200K by PCR and cloned into pQE30 vector. The vector was transformed into *E. coli* M15. Symbols: A, Aval; Ap, ampicillin resistance; B, BamHI; E, EcoRI; K, KpnI; MCS, multiple cloning site; ORF, open reading frame; Ori, replication origin; P, PstI; Plac, lac promoter; RBS, ribosome binding site; S, SalI.

1 2 3 4 5 6 7 8 9 10



**Fig. 2.** SDS-PAGE of the purified endo- $\beta$ -1,3-1,4-glucanase. Protein was analyzed in 12% polyacrylamide gel and stained with coomassie brilliant blue R-250. An arrow indicates the purified endo- $\beta$ -1,3-1,4-glucanase. Lane 1, *E. coli* M15 (pQE30); lane 2, *E. coli* M15; lane 3, crude extract; lanes 4, 6, purified enzyme; lane 5, standard protein molecular weight markers(kilodaltons); lanes 7, 8, overexpressed cells; lanes 9, 10, non-induced cells (pLQ43). Overexpression was induced by addition of 1 mM of IPTG and overexpressed His-tag protein was purified by Ni-NTA (QIAGEN).

**Table 1.** Purification of the *B. circulans* endo- $\beta$ -1,3-1,4-glucanase from *E. coli* M15

Purification step	Total protein (mg)	Total activity (U)	Specific activity (U/mg)	Yield (%)	Purification (fold)
Crude extract	Non-induced protein	780.9	0.95	100	1.0
	Overexpressed protein	3.7	14.4	7.2	15.2
Purified His-tag fusion protein	0.8	18.9	23.6	2.6	24.8

### 효소 활성 최적 온도와 온도에 대한 효소 안정성

*Endo- $\beta$ -1,3-1,4-glucanase* 활성에 미치는 반응 온도 효과를 측정하기 위하여 0.1 M 인산 완충용액(pH 6.8)에 lichenan을 1%되게 용해시키고, 이 용액을 취하여 온도를 30~80°C까지 변화시키면서 정제된 효소액을 가하고 활성을 측정한 결과 Fig. 3에 표시되어 있는 바와 같이 60°C에서 가장 높은 활성을 나타내었다. 이는 40°C의 최적 온도를 가지고 있는 *Orpinomyces* strain PC-2의 *endo- $\beta$ -1,3-1,4-glucanase*보다 높으며, 85°C에서 최적 온도를 지닌 *Rhodo-thermus marinus*의 초고온성 *endo- $\beta$ -1,3-1,4-glucanase*를 제외하고는 비교적 높은 최적 온도를 가진 효소로 분류할 수 있다(5,16). 또한 본 효소의 온도에 대한 안정성을 조사해 본 결과 Fig. 4와 5에서 보는 바와 같이 60°C에서 60 분 가열하여도 45% 전후의 잔여 활성을 유지함으로써 비교적 열에 안정하다고 사료된다.

### 효소 활성을 위한 최적 pH와 pH에 대한 효소 안정성

*Endo- $\beta$ -1,3-1,4-glucanase* 활성에 미치는 최적 pH를 측정하기

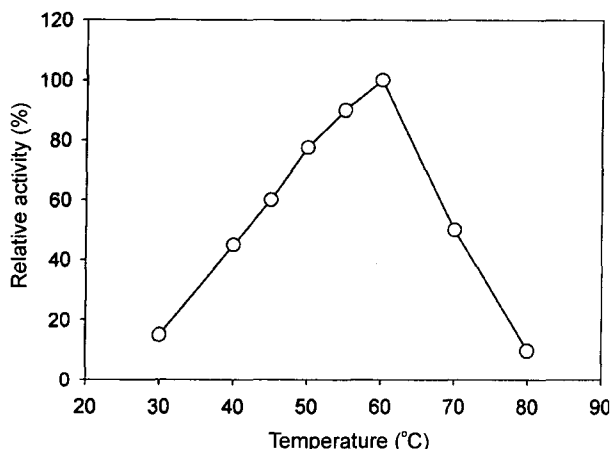


Fig. 3. Effect of temperature on activity of the *endo- $\beta$ -1,3-1,4-glucanase*. The enzyme reaction was carried out at various temperatures for 10 min in 0.1 M phosphate buffer (pH 6.8).

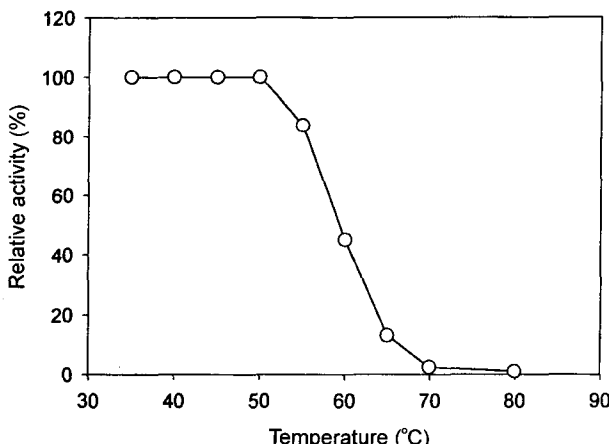


Fig. 4. Thermal stability of the *endo- $\beta$ -1,3-1,4-glucanase*. The enzyme reaction was carried out at optimal condition after preincubating of the enzyme solution at various temperatures for 1 hr.

위하여 pH 3.0~11.0 범위를 나타내는 네 가지 서로 다른 완충용액(시트르산 완충용액 pH 3.0~6.0, 인산 완충용액 pH 6.0~8.0, Tris 완충용액 pH 8.0~9.0 및 탄산 완충용액 pH 9.0~11.0)을 조제하여 lichenan을 1%되게 용해시키고, 이 용액에 정제된 효소액을 가한 다음 그 활성을 측정한 결과는 Fig. 6과 같다. 본 효소는 반응액의 pH가 6.0~7.0일 때 비교적 높은 효소 활성을 보였으며 이 범위를 벗어나면 효소 활성이 현저히 감소하였고, 특히 pH 6.8에서 가장 높은 효소 활성을 보였다. 또한 각각 다른 pH (pH 3.0~11.0)로 조정한 정제 효소액을 4°C에서 24 시간 방치한 후 잔존 효소 활성을 측정, pH에 대한 효소 안정성을 검토하여 Fig. 7과 같은 결과를 얻었다. 본 효소는 pH 5.5~7.5 범위에서 안정하였다. 클로닝된 효소의 활성에 미치는 최적 pH는 정제 전과 후에 각각 pH 5.6과 pH 6.8로 나타났다(11). 이러한 최적 pH의 차이는 정제되지 않은 조효소액에 있어서 *endo- $\beta$ -1,3-1,4-glucanase* 이외 다른 여러 가지 효소들의 간섭 작용 등이 관여하

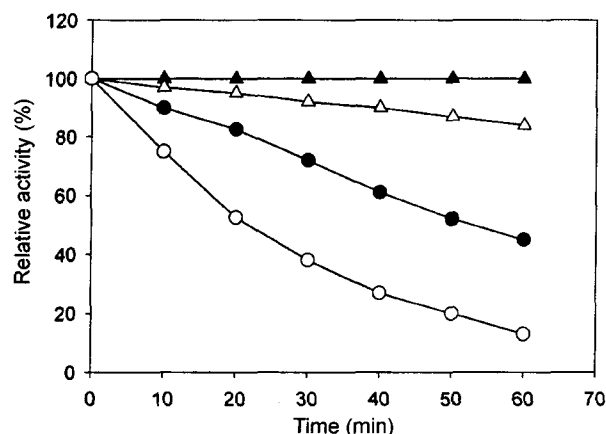


Fig. 5. Thermal stability of the *endo- $\beta$ -1,3-1,4-glucanase*. The enzyme reaction was carried out at optimal condition after preheating of the enzyme solution at the indicated temperature periods. Symbols: ○, 65°C; ●, 60°C; △, 55°C; ▲, 50°C.

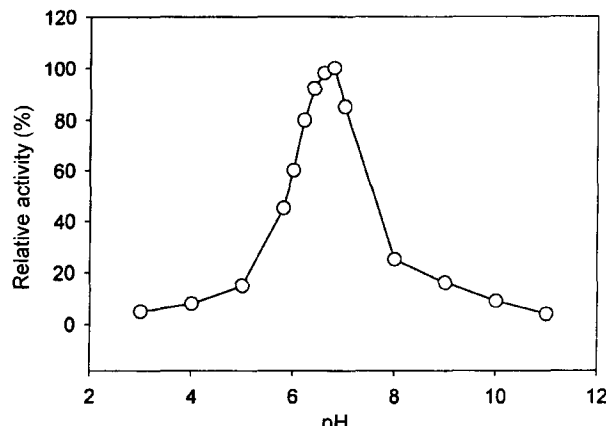


Fig. 6. Effect of pH on activity of the *endo- $\beta$ -1,3-1,4-glucanase*. The enzyme reaction was carried out at 60°C for 10 min in 0.05 M citrate (pH 3.0~6.0), 0.1 M phosphate (pH 6.0~8.0), 0.1 M Tris (pH 8.0~9.0) and 0.1 M bicarbonate (pH 9.0~11.0) buffer.

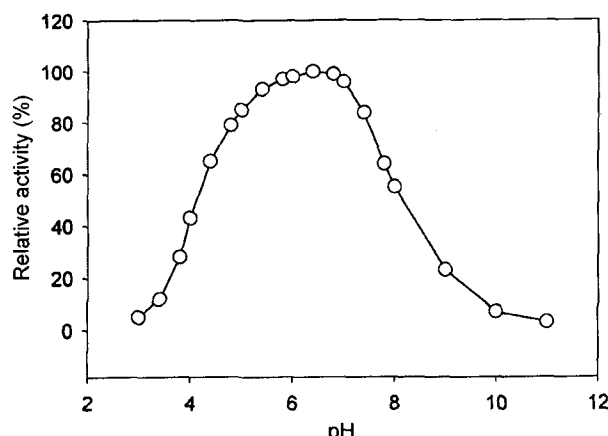


Fig. 7. pH stability of the endo- $\beta$ -1,3-1,4-glucanase. The reaction was carried out at 60°C for 10 min after 24 hr preincubation at 4°C at the various pH buffer (0.05 M citrate pH 3.0~6.0, 0.1 M phosphate pH 6.0~8.0, 0.1 M Tris pH 8.0~9.0 and 0.1 M bicarbonate pH 9.0~11.0).

였을 것으로 사료되며 정제된 효소가 pH 5.5~7.5에서 안정한 특성을 미루어 볼 때 pH 5.6에서도 효소 활성은 안정하게 유지되었을 것으로 판단된다.

#### 금속 이온의 영향

Table 2에 표시한 금속 이온을 1 mM 농도로 효소액에 첨가, 37°C에서 1 시간 동안 방지한 다음 잔존 효소 활성을 측정, 각

Table 2. Effect of metal ions and EDTA on the activity of purified endo- $\beta$ -1,3-1,4-glucanase

Metal ions and EDTA (1 mM)	Relative activity (%)
None	100
KCl	70
NaCl	75
BaCl <sub>2</sub>	35
CaCl <sub>2</sub>	75
CoCl <sub>2</sub>	67
HgCl <sub>2</sub>	7
MgCl <sub>2</sub>	68
NiCl <sub>2</sub>	120
ZnCl <sub>2</sub>	51
CuSO <sub>4</sub>	45
FeSO <sub>4</sub>	72
MnSO <sub>4</sub>	33
PbSO <sub>4</sub>	46
AgNO <sub>3</sub>	32
EDTA	67

Each enzyme solution was preincubated at 37°C for 1 hr in the presence of various metal ions and EDTA(final concentration of 1 mM) before measuring endo- $\beta$ -1,3-1,4-glucanase activity. Enzyme reaction was carried out at 60°C for 10 min.

종 금속 이온이 효소 활성에 미치는 영향을 조사하였다. AgNO<sub>3</sub>, BaCl<sub>2</sub>, CuSO<sub>4</sub>, MnSO<sub>4</sub>, PbSO<sub>4</sub>, ZnCl<sub>2</sub>와 같은 대부분의 금속 이온에 효소 활성이 30~50% 정도 크게 감소되었으며, 특히 HgCl<sub>2</sub>에서는 거의 활성을 보이지 않았다.

#### 유기 용매의 효과

Endo- $\beta$ -1,3-1,4-glucanase 활성이 유기 용매의 영향을 얼마나 받는지를 알아보기 위하여 0.1 M 인산 완충용액(pH 6.8)에 methanol이나 ethanol, isopropanol, 1-butanol의 농도를 10%(v/v) 되게 하고, lichenan을 1% 되게 용해시켜, 정제된 효소액을 가하여 60°C에서 10 분간 반응시켜 활성을 측정한 결과, 모두 낮은 활성을 나타내었는데, 특히 1-butanol에서는 완전히 효소 활성을 상실하였다(Table 3).

#### 기질 특이성

Endo- $\beta$ -1,3-1,4-glucanase를 포함한 각종 탄수화물의 분해 정도를 측정, endo- $\beta$ -1,3-1,4-glucanase의 기질 특이성을 조사한 결과 lichenan과 barley  $\beta$ -glucan에서만 높은 특이성을 보였을 뿐 다른 기질에서는 활성을 전혀 보이지 않았다(Table 4). 이는 *Orpinomyces* strain PC-2와 *Rhodothermus marinus*의 endo- $\beta$ -1,3-1,4-glucanase와 같은 특성이라고 할 수 있다(5,16). 본 연구는 *B. circulans* endo- $\beta$ -1,3-1,4-glucanase를 이용하여  $\beta$ -glucan을 가수분해시키는데 기초적인 자료가 될 것으로 사료된다. 앞으로 본 연구를 바탕으로 효소 대량생산을 위한 심층 연구를 수행한다면

Table 3. Effect of organic solvents on the activity of purified endo- $\beta$ -1,3-1,4-glucanase

Organic solvent (10%)	Relative activity (%)
None	100
Methanol	57
Ethanol	39
Isopropanol	27
1-Butanol	0

Table 4. Activity of the endo- $\beta$ -1,3-1,4-glucanase against various substrates

Substrate (1%, w/v)	Relative activity (%)
Lichenan	100
Barley $\beta$ -glucan	88
Oat spelt xylan	0
Birchwood xylan	0
CMC	0
Soluble starch	0
Chitin	0
Pullulan	0
Mannan	0

\*Substrates were solubilized in 0.1 M phosphate buffer (pH 6.8).

산업적 응용 측면에서 긴요한 정보를 더 얻을 수 있을 것으로 생각된다.

### 감사의 글

본 연구는 2001학년도 인제대학교 학술연구조성비 지원과 일부는 과학기술부·한국과학재단 지정 지역협력연구센터인 인제대학교 바이오헬스 소재 연구센터의 연구비 지원에 의해 이루어졌으며, 이에 감사드립니다.

### 참고문헌

- Anderson, M.A. and B.A. Stone. 1975. A new substrate for investigating the specificity of  $\beta$ -glucan hydrolases. *FEBS Lett.* 52, 202-207.
- Bamforth, C.W. 1982. Barley  $\beta$ -glucans. Their role in malting and brewing. *Brew. Dig.* 57, 22-27.
- Bamforth, C.W. and H.L. Martin. 1981.  $\beta$ -Glucan and  $\beta$ -glucan solubilase in malting and mashing. *J. Inst. Brew.* 87, 365-371.
- Buhiga, G.S., D.A. Brant, and G.B. Fincher. 1986. The sequence statistics and solution conformation of a barley (1 $\rightarrow$ 3,1 $\rightarrow$ 4)- $\beta$ -D-glucan. *Carbohydr. Res.* 157, 139-156.
- Chen, H., X.L. Li, and L.G. Ljungdahl. 1997. Sequencing of a 1,3-1,4- $\beta$ -D-glucanase (lichenase) from the anaerobic fungus *Orpinomyces* strain PC-2: properties of the enzyme expressed in *Escherichia coli* and evidence that the gene has a bacterial origin. *J. Bacteriol.* 179, 6028-6034.
- Dierick, N.A. 1989. Biotechnology aids to improve feed and feed digestion: enzymes and fermentation. *Arch. Anim. Nutr.* 39, 241-161.
- Enari, T.M. and P.H. Markkanen. 1975. Microbial  $\beta$ -glucanases in brewing. *Proc. Am. Soc. Brew. Chem.* 33, 13-17.
- Fincher, G.B., P.A. Lock, M.M. Morgan, K. Lingelbach, R.E.H. Wettlenhall, J.F.B. Mercer, A. Brandt, and K.K. Thomson. 1986. Primary structure of the (1-3,1-4)- $\beta$ -D-glucan 4-glucanohydrolase from barley aleurone. *Proc. Natl. Acad. Sci., USA* 83, 2081-2085.
- Fleming, M. and K. Kawakami. 1977. Studies of the fine structure of  $\beta$ -D-glucans of barleys extracted at different temperatures. *Carbohydr. Res.* 57, 15-23.
- Hanahan, D. 1985. Techniques for transformation of *Escherichia coli*, In D.M. Glover (ed.), DNA cloning, vol. I. IRL press, Oxford. p. 109-135.
- Kim J.Y., H.B. Kim, and D.S. Lee. 2002. Cloning and expression of the *Bacillus circulans* endo- $\beta$ -1,3-1,4-glucanase gene (*bglBCI*) in *Escherichia coli*. *Biotechnol. Lett.* 24, 53-57.
- Lowry, O.H., N.J. Rasebrough, A.L. Farr, and R.J. Randall. 1951. Protein measurement with Folin phenol reagent. *J. Biol. Chem.* 193, 265-275.
- Miller, G.L. 1959. Use of dinitrosalicylic acid reagent for determination of reducing sugar. *Anal. Chem.* 31, 426-428.
- Priest, F.G. 1977. Extracellular enzyme synthesis in the genus *Bacillus*. *Bacteriol. Rev.* 41, 711-753.
- Priest, F.K. 1989. Products and applications, In C.R. Harwood (ed.), *Bacillus*. Plenum Press, New York. p.293-320.
- Spillaert, R., G.O. Hreggvidsson, J.K. Kristjansson, G. Eggertsson, and A. Palsdottir. 1994. Cloning and sequencing of a Rhodothermus marinus gene, *bglA*, coding for a thermostable  $\beta$ -glucanase and its expression in *Escherichia coli*. *FEBS* 224, 923-930.
- Zappe, H., D.T. Jones, and D.R. Woods. 1987. Cloning and expression of a xylanase gene from *Clostridium acetobutylicum* P262 in *Escherichia coli*. *Appl. Microbiol. Biotechnol.* 27, 57-63.

(Received October 28, 2002/Accepted November 20, 2002)

---

### ABSTRACT: Purification and Characterization of an Endo- $\beta$ -1,3-1,4-Glucanase from *Escherichia coli* (pLL200K)

Ji-Yeon Kim (Institute of Genetic Engineering, Inje University, Gimhae 621-749, Korea)

A gene coding for endo- $\beta$ -1,3-1,4-glucanase of *Bacillus circulans* was subcloned into *Escherichia coli* M15 using pQE30 as an expression vector. Endo- $\beta$ -1,3-1,4-glucanase produced by the recombinant expression plasmid pLQ43 was intactly purified to a single protein through a nickel-nitrilotriacetic acid (Ni-NTA) metal-affinity chromatography method. The molecular mass of the purified enzyme was estimated to be 28 kDa by SDS-PAGE. The optimum pH and temperature of the enzyme activity were pH 6.8 and 60 °C, respectively. This enzyme was fairly stable in the pH ranging 5.5 ~ 7.5 and at the temperatures lower than 55 °C. The enzyme appeared to be sensitive to most of the metal ions, especially to Hg<sup>2+</sup>, and also to methanol, ethanol, isopropanol or 1-butanol at a concentration of 10%(v/v).